

УДК 621.391

p -этапные дискретные ортонормированные и биортонормированные вейвлет-базисы в описании сигналов и линейных нестационарных дискретных систем управления на отрезке $[0, L - 1]$

В.В. Рыбин

Аннотация

Для анализа и синтеза нестационарных непрерывных и, в общем случае, непрерывно-дискретных систем управления разработан спектральный метод расчета [1-4]. В последнее десятилетие в практике цифровой обработки сигналов нашли широкое применение вейвлет-преобразования [5, 6, 7-9] сходные с обычным преобразованием Фурье, но лучше описывающие локальные свойства функций в спектральной области. Применение вейвлетов для анализа линейных нестационарных систем управления в базисах вейвлетов рассмотрено в работах [10, 11-12]. В работах [11, 1] дискретные вейвлеты строятся путем дискретизации непрерывных вейвлетов. В работе [8] разработан алгоритм построения дискретного ортонормированного p -этапного вейвлет-базиса на отрезке $[0, L - 1]$.

В данной статье рассматриваются алгоритмы построения p -этапных дискретных ортонормированных и биортонормированных вейвлет-базисов и демонстрируется их реализация в пакете расширения MLSY_SM СКМ Mathcad [11, 12].

Ключевые слова

Биортогональный базис вейвлетов; p -этапного вейвлет-базис; нестационарные системы автоматического управления; спектральная форма математического описания, системы компьютерной математики.

1. Основные понятия и определения построения p -этапного дискретного вейвлет-базиса

Рассмотрим способ построения дискретных вейвлет-базисов, предложенный в работе М. Фрейзера [8]. В этом способе для построения дискретных вейвлет-базисов используются коэффициенты низкочастотных фильтров $\{h_k\}_{k=0}^N$, которые порождают аналогичные непрерывные вейвлет-базисы с компактным носителем [5].

Пусть $Z_L = [0, L-1]$. Будем рассматривать L -мерное векторное пространство над полем C

$$l^2(Z_L) = \{z = (z_0, z_1, \dots, z_{L-1}) = (z(0), z(1), \dots, z(L-1)) : z(j) \in C, 0 \leq j \leq L-1\}$$

с обычным покомпонентным сложением и скалярным умножением

$$(z, w) = \sum_{k=0}^{L-1} z(k)w^*(k) \quad (1)$$

с определяемой им нормой

$$\|z\| = \sqrt{\sum_{k=0}^{L-1} |z(k)|^2}. \quad (2)$$

Пусть $z = (z(0), z(1), \dots, z(L-1))$. Тогда для $m, l \in \{0, 1, \dots, L-1\}$ дискретное прямое и обратное преобразование Фурье запишем в виде

$$\mathfrak{F}(m) = \frac{1}{\sqrt{L}} \sum_{l=0}^{L-1} z(l) e^{-i \frac{2\pi l m}{L}}, \quad z(l) = (\mathfrak{F})^{-1}(l) = \frac{1}{\sqrt{L}} \sum_{m=0}^{L-1} \mathfrak{F}(m) e^{i \frac{2\pi l m}{L}}. \quad (3)$$

Определим оператор сдвига R_k на k тактов для $n \in Z_L$ как

$$(R_k z)(n) = z(n \div k), \quad (4)$$

где $x \div y = \begin{cases} x - y, & \text{если } x \geq y; \\ L + x - y, & \text{если } x < y. \end{cases}$

Для $z, w \in l^2(Z_L)$ свертку $z * w \in l^2(Z_L)$ запишем в виде

$$z * w(m) = \sum_{n=0}^{L-1} z(m \div n)w(n). \quad (5)$$

Предположим, что $w \in l^2(Z_{2M})$. Тогда $\{R_{2k} w\}_{k=0}^{M-1}$ есть ортонормированное множество из M элементов тогда и только тогда, когда $|\mathfrak{F}(n)|^2 + |\mathfrak{F}(n+M)|^2 = 2$ при $n = 0, 1, \dots, M-1$.

Ортонормированный базис $l^2(Z_{2M})$ вида

$$\{R_{2k} u\}_{k=0}^{M-1} \cup \{R_{2k} v\}_{k=0}^{M-1}, \quad (6)$$

для некоторых $u, v \in l^2(Z_{2M})$ называется *вейвлет-базисом первого этапа* $l^2(Z_{2M})$, а u и v *порождающими векторами вейвлет-базиса первого этапа*.

Для $n \in Z$ определим $A(n)$ - систему матриц из u и v , равенством

$$A(n) = \frac{1}{\sqrt{2}} \begin{bmatrix} \mathfrak{F}(n) & \mathfrak{F}(n) \\ \mathfrak{F}(n+M) & \mathfrak{F}(n+M) \end{bmatrix}. \quad (7)$$

Тогда система (6) есть ортонормированный базис $l^2(Z_{2M})$ тогда и только тогда, когда система матриц $A(n)$ из u и v унитарная для каждого $n = 0, 1, \dots, M-1$.

Это эквивалентно условиям:

$$|\mathfrak{A}(n)|^2 + |\mathfrak{A}(n+M)|^2 = 2, \quad (8)$$

$$|\mathfrak{B}(n)|^2 + |\mathfrak{B}(n+M)|^2 = 2 \quad (9)$$

и

$$\mathfrak{A}(n)\mathfrak{B}^*(n) + \mathfrak{A}(n+M)\mathfrak{B}^*(n+M) = 0 \quad (10)$$

для всех $n = 0, 1, \dots, M-1$.

Заметим, что вектор u часто называют термином "*отцовский вейвлет*", он содержит низкие частоты (низкочастотный фильтр), а v - термином "*материнский вейвлет*", он содержит высокие частоты (высокочастотный фильтр).

Если вектор $u \in l^2(Z_{2M})$ такой, что $\{R_{2k}u\}_{k=0}^{M-1}$ есть ортонормированное множества из M элементов, а $v \in l^2(Z_{2M})$ определен равенством

$$v(k) = (-1)^{k-1} u^*(1 \div k) \quad (11)$$

для всех k . Тогда $\{R_{2k}u\}_{k=0}^{M-1} \cup \{R_{2k}v\}_{k=0}^{M-1}$ есть вейвлет-базис первого этапа пространства $l^2(Z_{2M})$.

Определим операцию отбрасывания компонент с нечетными индексами отображением $D: l^2(Z_{2M}) \rightarrow l^2(Z_M)$, положив для $z \in l^2(Z_{2M})$

$$D(z)(n) = z(2n) \quad (12)$$

при $n = 0, 1, \dots, M-1$, а операцию вставки нуля между двумя смежными значениями отображением $U: l^2(Z_M) \rightarrow l^2(Z_{2M})$, положив для $z \in l^2(Z_M)$

$$U(z)(n) = \begin{cases} z(n/2), & \text{если } n \text{ четно,} \\ 0, & \text{если } n \text{ нечетно.} \end{cases} \quad (13)$$

Оператор D называют оператором *сгущающей выборки* или *децимации*, а U - оператором *разряжающей выборки*.

Тогда l -кратная композиция этих операторов определяется отображениями $D^l: l^2(Z_L) \rightarrow l^2(Z_{L/2^l})$, $U^l: l^2(Z_{L/2^l}) \rightarrow l^2(Z_L)$ и дается формулами

$$D^l(z)(n) = z(2^l n) \quad (14)$$

и

$$U^l(z)(n) = \begin{cases} z(n/2^l), & \text{если } 2^l \text{ делит } n, \\ 0, & \text{если } 2^l \text{ не делит } n. \end{cases} \quad (15)$$

Предположим, что L делится на 2^p . Последовательность вейвлет-фильтров p -го этапа есть последовательность векторов $u_1, v_1, u_2, v_2, \dots, u_p, v_p$ таких, что для каждого $l = 1, 2, 3, \dots, p$ $u_l, v_l \in l^2(Z_{L/2^{l-1}})$ и матрицы

$$A_l(n) = \frac{1}{\sqrt{2}} \begin{bmatrix} \mathfrak{f}_l(n) & \mathfrak{f}_l(n) \\ \mathfrak{f}_l\left(n + \frac{L}{2^l}\right) & \mathfrak{f}_l\left(n + \frac{L}{2^l}\right) \end{bmatrix} \quad (16)$$

унитарны для всех $n = 0, 1, \dots, (L/2^l) - 1$.

Если L делится на 2^l , то $u_l, v_l \in l^2(Z_{L/2^{l-1}})$ для $2 \leq l \leq p$ и $0 \leq n \leq \frac{L}{2^{l-1}} - 1$ можно определить равенствами

$$u_l(n) = \sum_{k=0}^{2^{l-1}-1} u_1\left(n + \frac{kL}{2^{l-1}}\right) \text{ и } v_l(n) = \sum_{k=0}^{2^{l-1}-1} v_1\left(n + \frac{kL}{2^{l-1}}\right). \quad (17)$$

Здесь $u_1, v_1, u_2, v_2, \dots, u_p, v_p$ есть p -этапная последовательность вейвлет фильтров.

Положим $f_1 = v_1$ и $g_1 = u_1$. Определим $f_l, g_l \in l^2(Z_L)$, $l = 2, 3, \dots, p$ по формулам $f_l = g_{l-1} * U^{l-1}(v_l)$, $g_l = g_{l-1} * U^{l-1}(u_l)$, где отображение $U^l : l^2(Z_{L/2^l}) \rightarrow l^2(Z_L)$ определяется формулой (15), а свертка формулой (5). Тогда для некоторых $f_1, f_2, \dots, f_p, g_p \in l^2(Z_L)$ множество

$$\{R_{2^k} f_1\}_{k=0}^{(L/2)-1} \cup \{R_{4^k} f_2\}_{k=0}^{(L/4)-1} \cup \dots \cup \{R_{2^p k} f_p\}_{k=0}^{(L/2^p)-1} \cup \{R_{2^p k} g_p\}_{k=0}^{(L/2^p)-1} \quad (18)$$

называется p -этапным вейвлет-базисом, если оно ортонормированный базис $l^2(Z_L)$.

Пусть L делится на 2^l , $g_{l-1} \in l^2(Z_L)$

$$\{R_{2^{l-1}k} g_{l-1}\}_{k=0}^{(L/2^{l-1})-1} \quad (19)$$

- ортонормированное множество, состоящее из $L/2^{l-1}$ элементов. Предположим, что $f_l, g_l \in l^2(Z_L)$ и $A_l(n)$ в формуле (16) унитарны для всех $n = 0, 1, \dots, (L/2^l) - 1$. Положим $f_l = g_{l-1} * U^{l-1}(v_l)$, $g_l = g_{l-1} * U^{l-1}(u_l)$. Тогда

$$\{R_{2^l k} f_l\}_{k=0}^{(L/2^l)-1} \cup \{R_{2^l k} g_l\}_{k=0}^{(L/2^l)-1} \quad (20)$$

есть ортонормированное множество из $L/2^l$.

Определим пространства

$$V_{j+1}^{p-j-1} = \text{span} \left\{ \underset{*}{\varphi}_{j+1,k} = R_{2^{j+1}k} \mathbf{g}_{j+1} \right\}_{k=0}^{(L/2^{p-j-1})-1}, \quad (21)$$

$$V_j^{p-j} = \text{span} \left\{ \underset{*}{\varphi}_{j,k} = R_{2^j k} \mathbf{g}_j \right\}_{k=0}^{(L/2^{p-j})-1} \quad (22)$$

и

$$W_j^{p-j} = \text{span} \left\{ \underset{*}{\psi}_{j,k} = R_{2^j k} \mathbf{f}_j \right\}_{k=0}^{(L/2^{p-j})-1}. \quad (23)$$

Тогда пространство $l^2(Z_L)$ сформировано как последовательность вложенных друг в друга подпространств $V_j^{p-j}, j = 0, 1, 2, \dots, p-1$ ($V_0^p \subseteq V_1^{p-1} \subseteq \dots \subseteq V_j^{p-j} \subseteq \dots \subseteq V_{p-1}^1 \subseteq l^2(Z_L)$), где $V_{j+1}^{p-j-1} = V_j^{p-j} \oplus W_j^{p-j}$ и $V_j^{p-j} \perp W_j^{p-j}$.

Рассмотренный способ построения дискретных ортонормированных вейвлетов имеет обобщение на пространство $l^2(Z)$ [8]. Это обобщение позволяет построить вейвлет-базис первого этапа пространства $l^2(Z_L)$ по масштабной последовательности $u \in l^1(Z)$. Определим $v \in l^1(Z)$ равенством $v(k) = (-1)^{k-1} u^*(1-k)$. Тогда $\{R_{2k} u_{(L)}\}_{k=0}^{M-1} \cup \{R_{2k} v_{(L)}\}_{k=0}^{M-1}$ есть вейвлет-базис первого этапа для $l^2(Z_L)$, где $u_{(L)}, v_{(L)} \in l^2(Z_L)$ и определяются равенствами $u_{(L)}(n) = \sum_{k \in Z} u(n+kL)$ и $v_{(L)}(n) = \sum_{k \in Z} v(n+kL)$, в которых ряды сходятся абсолютно.

Заметим, что приведенные результаты можно обобщить на дискретные биортогональные базисы [12]. Это обобщение порождает дискретные биортонормированные p -этапные вейвлет-базисы разложения

$$\left\{ \underset{*}{\tilde{\varphi}}_{0,k} \right\}_{k=0}^{(L/2^p)-1} \cup \left\{ \underset{*}{\tilde{\psi}}_{0,k} \right\}_{k=0}^{(L/2^p)-1} \cup \left\{ \underset{*}{\tilde{\psi}}_{1,k} \right\}_{k=0}^{(L/2^{p-1})-1} \cup \dots \cup \left\{ \underset{*}{\tilde{\psi}}_{p-2,k} \right\}_{k=0}^{(L/4)-1} \cup \left\{ \underset{*}{\tilde{\psi}}_{p-1,k} \right\}_{k=0}^{(L/2)-1} \quad (24)$$

и восстановления

$$\left\{ \underset{*}{\varphi}_{0,k} \right\}_{k=0}^{(L/2^p)-1} \cup \left\{ \underset{*}{\psi}_{0,k} \right\}_{k=0}^{(L/2^p)-1} \cup \left\{ \underset{*}{\psi}_{1,k} \right\}_{k=0}^{(L/2^{p-1})-1} \cup \dots \cup \left\{ \underset{*}{\psi}_{p-2,k} \right\}_{k=0}^{(L/4)-1} \cup \left\{ \underset{*}{\psi}_{p-1,k} \right\}_{k=0}^{(L/2)-1} \quad (25)$$

пространства $l^2(Z_L)$. А само пространство $l^2(Z_L)$ в этом случае формируется как последовательность вложенных друг в друга подпространств разложения \tilde{V}_j^p или восстановления V_j^p $j = 0, 1, 2, \dots, p-1$, т.е. имеются две цепочки пространств биортогонального анализа $\tilde{V}_0^p \subseteq \tilde{V}_1^{p-1} \subseteq \dots \subseteq \tilde{V}_j^{p-j} \subseteq \dots \subseteq \tilde{V}_{p-1}^1 \subseteq l^2(Z_L)$ и $V_0^p \subseteq V_1^{p-1} \subseteq \dots \subseteq V_j^{p-j} \subseteq \dots \subseteq V_{p-1}^1 \subseteq l^2(Z_L)$, где $\tilde{V}_{j+1}^{p-j-1} = \tilde{V}_j^{p-j} \dot{+} \tilde{W}_j^{p-j}$, $V_{j+1}^{p-j-1} = V_j^{p-j} \dot{+} W_j^{p-j}$ и

$\tilde{V}_j^{p-j} \perp W_j^{p-j}$, $V_j^{p-j} \perp \tilde{W}_j^{p-j}$. Тогда любая функция $x \in l^2(Z_L)$ полностью характеризуется ее вейвлет коэффициентами разложения

$$\tilde{s}_{0,k} = \sum_{l=0}^{L-1} x(l) \tilde{\varphi}_{0,k}^*(l), \quad k = 0, 1, \dots, \frac{L}{2^p} - 1, \quad (26)$$

$$\tilde{d}_{j,k} = \sum_{l=0}^{(L/2^{p-j})-1} x(l) \tilde{\psi}_{j,k}^*(l), \quad j = 0, 1, \dots, p-1, \quad k = 0, 1, \dots, \frac{L}{2^{p-j}} - 1 \quad (27)$$

и может быть восстановлена по формуле

$$x(l) = \sum_{k=0}^{(L/2^p)-1} \tilde{s}_{0,k} \varphi_{0,k}^*(l) + \sum_{j=0}^{p-1} \sum_{k=0}^{(L/2^{p-j})-1} \tilde{d}_{j,k} \psi_{j,k}^*(l). \quad (28)$$

Для описания сигналов и систем управления преобразуем заданный биортонормированный p -этапный вейвлет-базис к стандартному виду $\left\{ r_h^*, q_h^* \right\}$, где

$$r_h^*(L, p, l) = \begin{cases} \tilde{\varphi}_{0,h}^*(l) & \text{при } h = 0, 1, \dots, \frac{L}{2^p} - 1; l = 0, 1, \dots, L-1; \\ \tilde{\psi}_{j, \frac{kL}{2^p} + m}^*(l) & \text{при } h = \frac{(2^j + k)L}{2^p} + m; \\ L = 2^n; n = 1, 2, \dots; p = 1, 2, 3, \dots, n; j = 0, 1, 2, \dots, p-1; \\ k = 0, 1, \dots, 2^j - 1; m = 0, 1, \dots, \frac{L}{2^p} - 1, l = 0, 1, \dots, L-1 \end{cases} \quad (29)$$

- базис разложения, а

$$q_h^*(L, p, l) = \begin{cases} \varphi_{0,h}^*(l) & \text{при } h = 0, 1, \dots, \frac{L}{2^p} - 1; l = 0, 1, \dots, L-1; \\ \psi_{j, \frac{kL}{2^p} + m}^*(l) & \text{при } h = \frac{(2^j + k)L}{2^p} + m; \\ L = 2^n; n = 1, 2, \dots; p = 1, 2, 3, \dots, n; j = 0, 1, 2, \dots, p-1; \\ k = 0, 1, \dots, 2^j - 1; m = 0, 1, \dots, \frac{L}{2^p} - 1, l = 0, 1, \dots, L-1 \end{cases} \quad (30)$$

- базис восстановления. Тогда любая функция $x \in l^2(Z_L)$ полностью характеризуется ее НСХ [12]

$$X(i, L) = \sum_{l=0}^{L-1} r_{i,l}^*(i, L, p, l) x(l), \quad (31)$$

и может быть восстановлена по формуле обращения [12]

$$x(l) = \sum_{i=0}^{L-1} X(i, L) q(i, L, p, l). \quad (32)$$

Спектральный аппарат описания линейных нестационарных непрерывных, дискретных и непрерывно-дискретных систем управления в биортонормированных базисах рассмотрен в работе [12]. В работах [11, 12] разработаны пакеты расширения СКМ Mathcad, содержащий все элементарные алгоритмы спектрального метода анализа нестационарных непрерывных, дискретных и непрерывно-дискретных систем управления в вейвлет-базисах. Эти пакеты можно пополнить подсистемами программ, которые реализуют спектральные алгоритмы в дискретных p -этапных вейвлет-базисах. Поэтому далее остановимся только на примерах реализации спектральных алгоритмов в p -этапных вейвлет-базисах.

2. Примеры реализации p -этапных вейвлет-алгоритмов в базисе дискретных функций Добеши M -го порядка в СКМ Mathcad

Рассмотрим здесь только некоторые элементарные p -этапные вейвлет-операции и элементарные p -этапные операции спектрального метода в базисе Добеши M -го порядка.

2.1. p -этапный алгоритм построения дискретного вейвлет-базиса Добеши M -го порядка

p -этапные вейвлет-базисы разложения (24) и восстановления (25) для вейвлетов Добеши M -го порядка совпадают, так как вейвлеты Добеши M -го порядка порождают ортонормированный базис. А сам алгоритм вычисления p -этапного вейвлет-базиса Добеши M -го порядка включает следующие шаги:

1) Пусть $2^p | L$ и $u_l, v_l \in l^2(Z_{L/2^{l-1}})$, $l = 1, 2, 3, \dots, p$, где $Z_L = [0, L - 1]$.

2) Найдем систему дискретных ортонормированных вейвлет-функций Добеши M -го порядка первого этапа $l^2(Z_L)$.

$$2.1) \text{ Положим } u(m) = \begin{cases} 0, & \text{если } m < 0; \\ h(m), & \text{если } m = 0, 1, \dots, 2M - 1; \\ 0, & \text{если } m \geq 2M. \end{cases} \text{ где } h(m) - \text{коэффициенты}$$

низкочастотного фильтра для вейвлетов Добеши M -го порядка [5]. Тогда

$$u_1(n) = \sum_k u(n + kL), \text{ где } n = 0, 1, \dots, L - 1.$$

$$2.2) \text{ По } u_1 \text{ найдем } v_1(k) = (-1)^{k-1} u_1(1 \div k) \text{ для всех } k, \text{ где } x \div y = \begin{cases} x - y, & \text{если } x \geq y; \\ L + x - y, & \text{если } x < y. \end{cases}$$

3) Найдем u_l, v_l по формулам $u_l(n) = \sum_{k=0}^{2^{l-1}-1} u_1\left(n + \frac{kL}{2^{l-1}}\right)$ и $v_l(n) = \sum_{k=0}^{2^{l-1}-1} v_1\left(n + \frac{kL}{2^{l-1}}\right)$ для

$$2 \leq l \leq p \text{ и } 0 \leq n \leq \frac{L}{2^{l-1}} - 1.$$

4) Положим $f_1 = v_1$ и $g_1 = u_1$. Определим $f_l, g_l \in l^2(Z_L), l = 2, 3, \dots, p$ по формулам $f_l = g_{l-1} * U^{l-2}(v_l), g_l = g_{l-1} * U^{l-2}(u_l)$, где отображение $U^l : l^2(Z_{L/2^l}) \rightarrow l^2(Z_L)$ и свертка имеют вид:

$$U^l(w)(n) = \begin{cases} w(n/2^l), & \text{если } 2^l \text{ делит } n; \\ 0, & \text{если } 2^l \text{ не делит } n, \end{cases} \quad z * w(m) = \sum_{n=0}^{N-1} z(m \div n)w(n), \quad z, w \in l^2(Z_L).$$

5) Положим $(R_k z)(n) = z(n \div k)$ для $n, k \in Z_L$ и $z \in l^2(Z_L)$. Находим ортонормированные

базисы $\left\{ \psi_{j,k} = R_{2^j k} f_j \right\}_{k=0}^{(L/2^{p-j})-1}$ и $\left\{ \varphi_{j,k} = R_{2^j k} g_j \right\}_{k=0}^{(L/2^{p-j})-1}$ дискретных пространств

$$W_j^{p-j} = \text{span} \left\{ \psi_{j,k} \right\}_{k=0}^{(L/2^{p-j})-1} \quad \text{и} \quad V_j^{p-j} = \text{span} \left\{ \varphi_{j,k} \right\}_{k=0}^{(L/2^{p-j})-1} \quad \text{для } j = 0, 1, 2, 3, \dots, p-1.$$

$$\text{Тогда } \left\{ \varphi_{0,k} \right\}_{k=0}^{(L/2^p)-1} \cup \left\{ \psi_{0,k} \right\}_{k=0}^{(L/2^p)-1} \cup \left\{ \psi_{1,k} \right\}_{k=0}^{(L/2^{p-1})-1} \cup \dots \cup \left\{ \psi_{p-2,k} \right\}_{k=0}^{(L/4)-1} \cup \left\{ \psi_{p-1,k} \right\}_{k=0}^{(L/2)-1}$$

есть дискретный ортонормированный p -этапный вейвлет-базис Добеши M -го порядка пространства $l^2(Z_L)$.


```

FG(L,p,j,k,g) :=
:= | Dg ← length(g)
|
|
|
| for l ∈ 1..p-1
|                                     if p ≥ 2
|   for m ∈ 0..L-1
|     |
|     | gl1,m ← ∑n=0L-1 gl1-1, | m-n if m ≥ n · uu1-1,n
|     | (L+m-n) if m < n
|     |
|     | fl1,m ← ∑n=0L-1 gl1-1, | m-n if m ≥ n · vv1-1,n
|     | (L+m-n) if m < n
|   for n ∈ 0..L-1
|     |
|     | ψ1,n ← - flp-j-1, | n-2Fj,k if n ≥ 2Fj,k
|     | (L+n-2Fj,k) if n < 2Fj,k
|     |
|     | ψ0,n ← glp-j-1, | n-2Fj,k if n ≥ 2Fj,k
|     | (L+n-2Fj,k) if n < 2Fj,k
|   ψ

```

Рис. 1.

Фрагмент программного модуля, который реализует алгоритм вычисления p -этапного вейвлет-базиса Добеши M -го порядка в СКМ Mathcad, показан на рис. 1. Этот фрагмент отражает итерационный этап построения вейвлет-базиса Добеши M -го порядка. В программу передаются следующие параметры: $L = 2, 4, 8, \dots$ - длина отрезка $[0, L-1]$; p - количество этапов вейвлет-базиса Добеши M -го порядка: $j = 0, 1, 2, \dots, p-1$ и $k = 0, 1, \dots, L/2^{p-j} - 1$ - параметры, определяющие вычисляемые дискретные вейвлеты $\varphi_{j,k}(l)$ и $\psi_{j,k}(l)$; параметр g - идентификатор матрицы-столбца, которая содержит коэффициенты низкочастотного фильтра вейвлетов Добеши M -го порядка [5, 11].

Программа формирует матрицу порядка $2 \times (L-1)$, первая и вторая строки которой содержат соответственно дискретные вейвлеты $\varphi_{j,k}(l)$ и $\psi_{j,k}(l)$.

Результат работы этой программы при $L = 8, p = 2$ порождает 2-этапный вейвлет-базис Добеши второго порядка (рис. 2).

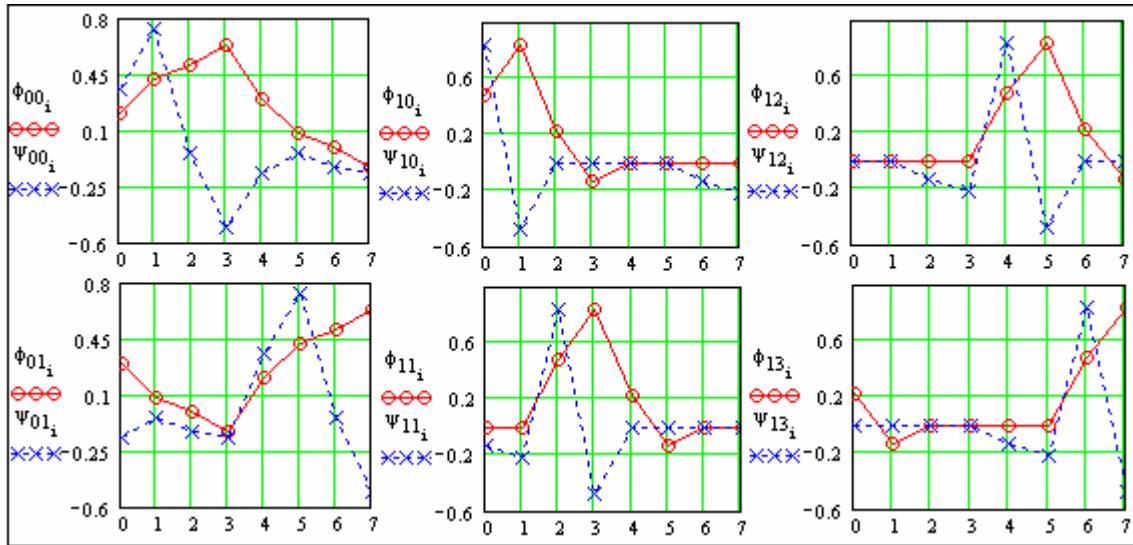


Рис. 2

2.2. Формирование стандартного вейвлет-базиса Добеши М-го порядка по p -этапному вейвлет-базису

Для биортонормированного вейвлет-базиса приведение к стандартному виду осуществляется по формулам (29) и (30). В ортогональном случае эти формулы совпадают. Поэтому для стандартного вейвлет-базиса Добеши М-го порядка будем иметь

$$z_h(L, p, l) = \begin{cases} \varphi_{0,h}(l) & \text{при } h = 0, 1, \dots, \frac{L}{2^p} - 1; l = 0, 1, \dots, L-1; \\ \psi_{j, \frac{kL}{2^p} + m}^*(l) & \text{при } h = \frac{(2^j + k)L}{2^p} + m; \\ L = 2^n; n = 1, 2, \dots; p = 1, 2, 3, \dots, n; j = 0, 1, 2, \dots, p-1; \\ k = 0, 1, \dots, 2^j - 1; m = 0, 1, \dots, \frac{L}{2^p} - 1; l = 0, 1, \dots, L-1. \end{cases} \quad (33)$$

Программный модуль, реализующий алгоритм формирования $z_h(L, p, l)$ в системе Mathcad, показан на рис 3. В программу передаются следующие параметры: $L = 2, 4, 8, \dots$ - количество тактовых точек на отрезке работы системы управления $[0, L - 1]$; $L1 = 2, 4, 8, \dots$ - количество вычисляемых дискретных функций Добеши М-го порядка ($L1 \leq L$); $p = 1, 2, \dots, n$ - количество этапов вейвлет-базиса Добеши М-го порядка ($2^p \leq L = 2^n$), g - идентификатор матрицы-столбца, которая содержит коэффициенты низкочастотного фильтра вейвлетов Добеши М-го порядка; M - порядок вейвлетов Добеши. Результат работы этой программы для вейвлетов Добеши второго порядка при $L = 8$, $L1 = 4$, $p = 2$, порождает 2-этапный стандартный вейвлет-базис. (рис. 4).

```

SDBZZ2P(L,L1,p,g,M) := n ← trunc( (log(L) / log(2))
                        for m ∈ 0.. (L / 2^p) - 1
                          for l ∈ 0.. 2^n - 1
                            DM1,m ← FG(2^n, p, 0, m, g)0,1
                          for j ∈ 0.. p - 1
                            for k ∈ 0.. 2^j - 1
                              for m ∈ 0.. (L / 2^p) - 1
                                for l ∈ 0.. 2^n - 1
                                  DM1, (2^j+k)L / 2^p + m ← FG(2^n, p, j, (k·L / 2^p) + m, g)1,1
                              for i ∈ 0.. L - 1
                                for i ∈ 0.. L1 - 1
                                  DM1,i ← DM1,i
DM1

```

Рис. 3

$$\begin{array}{l}
L := 8 \quad L1 := 4 \quad p := 2 \quad Z := \text{SDBZZ1}(L, L1, p, g, 2) \\
Z^T = \begin{pmatrix}
0.204 & 0.421 & 0.512 & 0.637 & 0.296 & 0.079 & -0.012 & -0.137 \\
0.296 & 0.079 & -0.012 & -0.137 & 0.204 & 0.421 & 0.512 & 0.637 \\
0.354 & 0.729 & -0.046 & -0.512 & -0.171 & -0.046 & -0.137 & -0.171 \\
-0.171 & -0.046 & -0.137 & -0.171 & 0.354 & 0.729 & -0.046 & -0.512
\end{pmatrix}
\end{array}$$

Рис. 4.

2.3. Вычисление ДНПФ суммирующего и разностного звена в стандартном вейвлет-базисе Добеши M -го порядка

Алгоритмы вычисления ДНПФ суммирующего и разностного звеньев [1-4, 11, 12] для стандартного вейвлет-базиса Добеши M -го порядка, запишем в виде

$$P(h, i, L, L) = \sum_{l=0}^{L-1} z(h, L, p, l) \sum_{m=0}^l z(i, L, p, m), \quad (34)$$

$$P(h, i, L, L) = z(h, L, p, 0) z(i, L, p, 0) + \sum_{l=0}^{L-1} z(h, L, p, l) \nabla_l z(i, L, p, l). \quad (35)$$

Программный модуль, реализующий алгоритм вычисления ДНПФ суммирующего звена по формуле (34), показан на рис.5, а программный модуль, реализующий алгоритм вычисления ДНПФ разностного звена по формуле (35), показан на рис.6.

SC1ZZ1(L,L1,p,g,M) :=	$Q \leftarrow \text{SDBZZ1}(L,L1,p,g,M)$ for h ∈ 0..L1 - 1 for i ∈ 0..L1 - 1 $A_{h,i} \leftarrow \sum_{p=0}^{L-1} \sum_{k=0}^p (Q_{p,h} \cdot Q_{k,i})$
	A

Рис. 5

SR1ZZ1(L,L1,p,g,M) :=	$Q \leftarrow \text{SDBZZ1}(L,L1,p,g,M)$ for h ∈ 0..L1 - 1 for i ∈ 0..L1 - 1 $A_{h,i} \leftarrow Q_{0,h} \cdot Q_{0,i} + \sum_{p=1}^{L-1} Q_{p,h} \cdot (Q_{p,i} - Q_{p-1,i})$
	A

Рис. 6

В эти программы передаются следующие параметры: $L = 2, 4, 8, \dots$ - количество тактовых точек на отрезке работы системы управления $[0, L - 1]$ ($L \geq L1$); $L1 = 2, 4, 8, \dots$ - порядок усечения матрицы ДНПФ; $p = 1, 2, \dots, n$ - количество этапов вейвлет-базиса Добеши M -го порядка ($2^p \leq L = 2^n$), g - идентификатор матрицы-столбца, которая содержит коэффициенты низкочастотного фильтра вейвлетов Добеши M -го порядка; M - порядок вейвлетов Добеши.

Результат работы этих программ при $L = 4, L1 = 4, p = 2$ в стандартном вейвлет-базис Добеши второго порядка, показан на рис. 7.

$L := 4 \quad L1 := 4 \quad p := 2 \quad C := \text{SC1ZZ1}(L,L1,p,g2,2) \quad R := \text{SR1ZZ1}(L,L1,p,g2,2)$		
$C = \begin{pmatrix} 2.5 & 0.866 & 0.707 & 0 \\ -0.866 & 0.5 & 0.354 & -0.354 \\ -0.707 & -0.354 & 0.5 & 0 \\ 0 & 0.354 & 0 & 0.5 \end{pmatrix}$	$R = \begin{pmatrix} 0.25 & -0.342 & -0.112 & -0.241 \\ 0.092 & 0.875 & -0.748 & 0.619 \\ 0.418 & 0.136 & 1.312 & 0.096 \\ -0.065 & -0.619 & 0.529 & 1.562 \end{pmatrix}$	$C \cdot R = \begin{pmatrix} 1 & 0 & 0 & 0 \\ 0 & 1 & 0 & 0 \\ 0 & 0 & 1 & 0 \\ 0 & 0 & 0 & 1 \end{pmatrix}$

Рис. 7

3. Примеры реализации p -этапных вейвлет-алгоритмов в базисе дискретных сплайн-вейвлетов M -го порядка в СКМ Mathcad

Рассмотрим здесь только некоторые элементарные p -этапные вейвлет-операции и элементарные p -этапные операции спектрального метода в базисе сплайн-вейвлетов с компактным носителем [12].

3.1. p -этапный алгоритм построения биортогональных дискретных сплайн-вейвлетов M -го порядка разложения и восстановления пространства $l^2[0, L-1]$

Алгоритм вычисления p -этапного биортогонального вейвлет-базиса разложения (24) и восстановления (25) пространства $l^2[0, L-1]$, включает следующие шаги:

1) Пусть $2^p | L$ и $u_l, \tilde{u}_l, v_l, \tilde{v}_l \in l^2(Z_{L/2^{l-1}})$, $l=1,2,3,\dots,p$, где $Z_L = [0, L-1]$.

2) Найдем систему дискретных биортонормированных вейвлет-функций разложения и восстановления M -го порядка первого этапа $l^2(Z_L)$.

2.1) Положим $u(m) = \begin{cases} 0, & \text{если } m < 0 \text{ и } m \geq N, \\ h(m), & \text{если } m = 0,1,\dots,N-1. \end{cases}$ где $h(m)$ - коэффициенты

низкочастотного фильтра восстановления сплайн-вейвлетов M -го порядка [5]. Тогда

$$u_1(n) = \sum_{k \in Z} u(n+kL), \text{ где } n = 0,1,\dots,L-1.$$

2.2) Положим $\tilde{u}(m) = \begin{cases} 0, & \text{если } m < 0 \text{ и } m \geq N1, \\ \tilde{h}(m), & \text{если } m = 0,1,\dots,N1-1. \end{cases}$ где $\tilde{h}(m)$ - коэффициенты

низкочастотного фильтра разложения сплайн-вейвлетов M -го порядка [5]. Тогда

$$\tilde{u}_1(n) = \sum_{k \in Z} \tilde{u}(n+kL), \text{ где } n = 0,1,\dots,L-1.$$

2.3) По u_1 и \tilde{u}_1 найдем: $\tilde{v}_1(k) = (-1)^{k-1} u_1(1 \div k)$, $v_1(k) = (-1)^{k-1} \tilde{u}_1(1 \div k)$ для всех k , где

$$x \div y = \begin{cases} x - y, & \text{если } x \geq y; \\ L + x - y, & \text{если } x < y. \end{cases}$$

3) Найдем $u_l, \tilde{u}_l, v_l, \tilde{v}_l$ по формулам

$$\tilde{u}_l(n) = \sum_{k=0}^{2^{l-1}-1} \tilde{u}_1\left(n + \frac{kL}{2^{l-1}}\right), \quad \tilde{v}_l(n) = \sum_{k=0}^{2^{l-1}-1} \tilde{v}_1\left(n + \frac{kL}{2^{l-1}}\right)$$

и

$$u_l(n) = \sum_{k=0}^{2^{l-1}-1} u_1\left(n + \frac{kL}{2^{l-1}}\right), \quad v_l(n) = \sum_{k=0}^{2^{l-1}-1} v_1\left(n + \frac{kL}{2^{l-1}}\right)$$

для $2 \leq l \leq p$ и $0 \leq n \leq \frac{L}{2^{l-1}} - 1$.

4) Положим: $\tilde{f}_1 = \tilde{v}_1$, $f_1 = v_1$, $\tilde{g}_1 = \tilde{u}_1$, $g_1 = u_1$. Определим

$\tilde{f}_l, \tilde{g}_l, f_l, g_l \in l^2(Z_L)$, $l=2,3,\dots,p$ по формулам $\tilde{f}_l = \tilde{g}_{l-1} * U^{l-2}(\tilde{v}_l)$, $f_l = g_{l-1} * U^{l-2}(v_l)$,

$\tilde{g}_l = \tilde{g}_{l-1} * U^{l-2}(\tilde{u}_l)$, $g_l = g_{l-1} * U^{l-2}(u_l)$, где отображение $U^l : l^2(Z_{L/2^l}) \rightarrow l^2(Z_L)$ и свертка

имеют вид:

$$U^l(w)(n) = \begin{cases} w(n/2^l), & \text{если } 2^l \text{ делит } n; \\ 0, & \text{если } 2^l \text{ не делит } n, \end{cases} \quad z * w(m) = \sum_{n=0}^{N-1} z(m \div n)w(n), \quad z, w \in l^2(Z_L).$$

5) Положим $(R_k z)(n) = z(n \div k)$ для $n, k \in Z_L$ и $z \in l^2(Z_L)$. Находим ортонормированные базисы:

$$\left\{ \begin{matrix} \tilde{\psi}_{i,k} = R_{2^j k} \tilde{f}_j \\ * \end{matrix} \right\}_{k=0}^{(L/2^{p-j})-1}, \quad \left\{ \begin{matrix} \tilde{\varphi}_{j,k} = R_{2^j k} \tilde{g}_j \\ * \end{matrix} \right\}_{k=0}^{(L/2^{p-j})-1}, \quad \left\{ \begin{matrix} \psi_{i,k} = R_{2^j k} f_j \\ * \end{matrix} \right\}_{k=0}^{(L/2^{p-j})-1}, \quad \left\{ \begin{matrix} \varphi_{j,k} = R_{2^j k} g_j \\ * \end{matrix} \right\}_{k=0}^{(L/2^{p-j})-1}$$

дискретных пространств:

$$\tilde{W}_j^{p-j} = \text{span} \left\{ \begin{matrix} \tilde{\psi}_{j,k} \\ * \end{matrix} \right\}_{k=0}^{(L/2^{p-j})-1}, \quad \tilde{V}_j^{p-j} = \text{span} \left\{ \begin{matrix} \tilde{\varphi}_{j,k} \\ * \end{matrix} \right\}_{k=0}^{(L/2^{p-j})-1}, \quad W_j^{p-j} = \text{span} \left\{ \begin{matrix} \psi_{j,k} \\ * \end{matrix} \right\}_{k=0}^{(L/2^{p-j})-1},$$

$$V_j^{p-j} = \text{span} \left\{ \begin{matrix} \varphi_{j,k} \\ * \end{matrix} \right\}_{k=0}^{(L/2^{p-j})-1} \quad \text{для } j = 0, 1, 2, 3, \dots, p-1.$$

Тогда

$$\left\{ \begin{matrix} \tilde{\varphi}_{0,k} \\ * \end{matrix} \right\}_{k=0}^{(L/2^p)-1} \cup \left\{ \begin{matrix} \tilde{\psi}_{0,k} \\ * \end{matrix} \right\}_{k=0}^{(L/2^p)-1} \cup \left\{ \begin{matrix} \tilde{\psi}_{1,k} \\ * \end{matrix} \right\}_{k=0}^{(L/2^{p-1})-1} \cup \dots \cup \left\{ \begin{matrix} \tilde{\psi}_{p-2,k} \\ * \end{matrix} \right\}_{k=0}^{(L/4)-1} \cup \left\{ \begin{matrix} \tilde{\psi}_{p-1,k} \\ * \end{matrix} \right\}_{k=0}^{(L/2)-1}$$

и

$$\left\{ \begin{matrix} \varphi_{0,k} \\ * \end{matrix} \right\}_{k=0}^{(L/2^p)-1} \cup \left\{ \begin{matrix} \psi_{0,k} \\ * \end{matrix} \right\}_{k=0}^{(L/2^p)-1} \cup \left\{ \begin{matrix} \psi_{1,k} \\ * \end{matrix} \right\}_{k=0}^{(L/2^{p-1})-1} \cup \dots \cup \left\{ \begin{matrix} \psi_{p-2,k} \\ * \end{matrix} \right\}_{k=0}^{(L/4)-1} \cup \left\{ \begin{matrix} \psi_{p-1,k} \\ * \end{matrix} \right\}_{k=0}^{(L/2)-1}$$

есть дискретные биортонормированные p -этапные вейвлет-базисы разложения и восстановления сплайн-вейвлетов M -го порядка пространства $l^2(Z_L)$.

Этот алгоритм имеет несколько программных реализаций. Программные модули, реализующие алгоритм вычисления p -этапного вейвлет-базиса разложения и восстановления сплайн-вейвлетов M -го порядка здесь не приводятся.

3.2. Формирование стандартного вейвлет-базиса сплайн-вейвлетов M -го порядка по p -этапному вейвлет-базису

Пусть $M = 0, 1, 2, 3, \dots$ - порядок В-сплайна. Тогда [1] $N = M + 2 = 2, 3, 4, \dots$ - число коэффициентов вейвлет-фильтра восстановления, а $N1 = N + 2k$ - число коэффициентов вейвлет-фильтра разложения. Если N четное, то $k = 0, 2, 4, \dots$, если N нечетное, то $k = 1, 3, 5, \dots$. Тогда $hSVR\varphi Mk$ - идентификатор матрицы порядка $N1 \times 2$, которая содержит коэффициенты низкочастотного фильтра масштабирующей функции восстановления (первый столбец) и разложения (второй столбец) для сплайна порядка M и выбранного k ;

Для биортонормированного вейвлет-базиса приведение к стандартному виду осуществляется по формулам (29) и (30). Программный модуль, реализующий алгоритм формирования базиса разложения $r_h(L, p, l)$ в СКМ Mathcad, показан на рис 8.

В программу передаются следующие параметры: $L = 2, 4, 8, \dots$ - количество тактовых точек на отрезке работы системы управления $[0, L - 1]$; $L1 = 2, 4, 8, \dots$ - количество вычисляемых дискретных базисных функций сплайн-вейвлетов M -го порядка ($L \leq L1$); h - идентификатор матрицы порядка $rovs(h) \times 2$, которая содержит коэффициенты низкочастотных фильтров восстановления (первый столбец) и разложения (второй столбец) сплайн-вейвлетов M -го порядка.

```

SDBRMMP1(L,L1,p,h) :=
:= | n ← trunc( $\frac{\log(L)}{\log(2)}$ )
   | for 1 ∈ 0..2n - 1
   | for j ∈ 0..p - 1
   | for k ∈ 0..2j - 1
   | for m ∈ 0.. $\frac{L}{2^p} - 1$ 
   |   | DM1,m ← FGBORP(2n,p,p,m,h)0,1
   |   | DM1, $\frac{(2^j+k) \cdot L}{2^p} + m$  ← FGBORP[2n,p,p - j, $\frac{(2^j - k - 1) \cdot L}{2^p} + m,h$ ]1,1
   | for 1 ∈ 0..L - 1
   | for i ∈ 0..L1 - 1
   |   DM11,i ← DM1,i
   | DM1

```

Рис. 8

Результат работы программ, реализующих алгоритмы (29), (30) при $p = 1, L = 8, L1 = 2, h = hSVR\phi11$, порождает стандартный базис биортонормированных сплайн-вейвлетов (рис. 9).

$p := 1 \quad L := 8 \quad L1 := 2 \quad R := \text{SDBRMMP1}(L, L1, p, h\text{SVR}\phi11)$	$i := 0..L - 1 \quad V := \text{SDBVMMP1}(L, L1, p, h\text{SVR}\phi11)$
$R = \begin{pmatrix} 0 & 0 \\ 0 & -0.177 \\ 0 & 0.354 \\ -0.177 & 1.061 \\ 0.354 & 0.354 \\ 1.061 & -0.177 \\ 0.354 & 0 \\ -0.177 & 0 \end{pmatrix}$	$V = \begin{pmatrix} 0 & 0 \\ 0 & 0 \\ 0 & 0.354 \\ 0 & 0.707 \\ 0.354 & 0.354 \\ 0.707 & 0 \\ 0.354 & 0 \\ 0 & 0 \end{pmatrix} \quad R^T \cdot V = \begin{pmatrix} 1 & 0 \\ 0 & 1 \end{pmatrix}$

Рис. 9.

3.3. Вычисление ДНПФ суммирующего и разностного звена в стандартном базисе сплайн-вейвлетов M -го порядка

Алгоритмы вычисления ДНПФ суммирующего и разностного звеньев [1-4,11, 12] в стандартном базисе сплайн-вейвлетов M -го порядка, запишем в виде

$$P_{r_q}^{r_q}(h, i, L, L) = \sum_{l=0}^{L-1} r(h, L, p, l) \sum_{m=0}^l q(i, L, p, m), \quad (36)$$

$$P_{r_q}^{r_q}(h, i, L, L) = r(h, L, p, 0) q(i, L, p, 0) + \sum_{l=0}^{L-1} r(h, L, p, l) \nabla_l q(i, L, p, l). \quad (37)$$

Программный модуль, реализующий алгоритм вычисления ДНПФ суммирующего звена по формуле (36), показан на рис.10, а программный модуль, реализующий алгоритм вычисления ДНПФ разностного звена по формуле (37), показан на рис.11.

$\text{SC1MMP1}(L, L1, p, h) :=$	$Q1 \leftarrow \text{SDBVMMP1}(L, L1, p, h)$ $Q2 \leftarrow \text{SDBRMMP1}(L, L1, p, h)$ <p>for $h \in 0..L1 - 1$</p> <p> for $i \in 0..L1 - 1$</p> <p> $A_{h,i} \leftarrow \sum_{s=0}^{L1-1} \sum_{k=0}^s (Q2_{s,h} \cdot Q1_{k,i})$</p> <p>A</p>
----------------------------------	--

Рис. 10


```

SR1MMP1(L,L1,p,h) :=
:= | Q1 ← SDBVMMP1(L,L1,p,h)
   | Q2 ← SDBRMMP1(L,L1,p,h)
   | for h ∈ 0..L1 - 1
   |   for i ∈ 0..L1 - 1
   |     Ah,i ← Q20,h · Q10,i + ∑k=1L1-1 Q2k,h · (Q1k,i - Q1k-1,i)
   | A

```

Рис. 11

В эти программы передаются следующие параметры: $L = 2,4,8,\dots$ - количество тактовых точек на отрезке работы системы управления $[0, L - 1]$ ($L \geq L1$); $L1 = 2,4,8,\dots$ - порядок усечения матрицы ДНПФ; h - идентификатор матрицы порядка $rows(h) \times 2$, которая содержит коэффициенты низкочастотных фильтров восстановления (первый столбец) и разложения (второй столбец) сплайн-вейвлетов M -го порядка.

Результат работы этих программ при $p = 1, L = 4, L1 = 4, h = hSVR\phi11$ показан на рис. 12.

$L := 4 \quad L1 := 4 \quad p := 1 \quad h := hSVR\phi11$	
$C1 := SC1MMP1(L,L1,p,h)$	$R1 := SR1MMP1(L,L1,p,h)$
$C1 = \begin{pmatrix} 1.25 & 0.25 & 1.25 & -0.75 \\ 1.75 & 1.75 & 0.25 & 0.25 \\ -0.625 & -0.375 & 0.5 & 0 \\ 0.125 & -0.125 & 0 & 0.5 \end{pmatrix}$	$R1 \cdot C1 = \begin{pmatrix} 1 & 0 & 0 & 0 \\ 0 & 1 & 0 & 0 \\ 0 & 0 & 1 & 0 \\ 0 & 0 & 0 & 1 \end{pmatrix}$
$R1 = \begin{pmatrix} 0.5 & -0.25 & -1.125 & 0.875 \\ -0.5 & 0.75 & 0.875 & -1.125 \\ 0.25 & 0.25 & 1.25 & 0.25 \\ -0.25 & 0.25 & 0.5 & 1.5 \end{pmatrix}$	+

Рис. 12

Библиографический список

1. Солодовников В. В., Семенов В. В. Спектральная теория нестационарных систем управления. М., Наука, 1974. – 336 с.
2. Солодовников В. В., Семенов В. В. Спектральный метод расчета нестационарных систем управления летательными аппаратами. - М.: Машиностроение, 1975. – 272 с.
3. Солодовников В.В., Семенов В.В., Пешель М., Недо Д. Расчет систем управления на ЦВМ: спектральный и интерполяционный методы. – М.: Машиностроение, 1979. . – 664 с.
4. Семенов В.В., Рыбин В.В. Алгоритмическое и программное обеспечение расчета нестационарных непрерывно-дискретных систем управления ЛА спектральным методом: Учебное пособие. – М.: МАИ, 1984. – 84 с.

5. Добеши И. Десять лекций по вейвлетам. – Ижевск: НИЦ "Регулярная и хаотическая динамика", 2001. – 464 с.
6. Малла С. Вейвлеты в обработке сигналов: Пер. с англ. – М.: Мир, 2005. – 672 с.
7. Смоленцев Н.К. Основы теории вейвлетов. Вейвлеты в MATLAB. – ДМК Пресс, 2005. – 304 с.
8. Фрейзер М. Введение в вейвлеты в свете линейной алгебры. - М.: Издательство Бином. Лаборатория знаний, 2008. – 487 с.
9. Чуи К. Введение в вейвлеты: Пер. с англ. – М.: Мир, 2001. – 412 с.
10. Нестационарные системы автоматического управления: анализ, синтез и оптимизация / Под ред. К.А. Пупкова и Н.Д. Егупова. – М.: Издательство МГТУ им. Н.Э. Баумана, 2007. – 632 с.
11. Рыбин В.В. Разработка пакета расширения MLSY_SM СКМ Mathcad в базисах Добеши М-го порядка // Электронный журнал "Труды МАИ"- 2009, № 33. – <http://www.mai.ru>.
12. Рыбин В.В. Разработка пакета расширения MLSY_SM СКМ Mathcad в биортогональных вейвлет-базисах // Электронный журнал "Труды МАИ"- 2009, № 33. – <http://www.mai.ru>.

Сведения об авторе

Рыбин Владимир Васильевич, доцент кафедры «Математическая кибернетика» Московского авиационного института (государственного технического университета), тел. 8 (499) 158-48-11, электронная почта: dep805@mai.ru.